

بررسی اثر روانگرایی خاک‌ها بر تونل‌های دوکلو تحت‌بار هارمونیک

امین‌اله جام‌سحر، دانشجوی کارشناسی ارشد، گروه مهندسی عمران، واحد قزوین، داشگاه آزاد اسلامی، قزوین، ایران

محمد آزادی^{*}، دانشیار، گروه مهندسی عمران، واحد قزوین، دانشگاه آزاد اسلامی، قزوین، ایران

*نویسنده مسئول: azadi.mhm@gmail.com

دریافت: ۹۷/۰۱/۱۸ پذیرش: ۹۶/۰۹/۰۸

صفحه ۱۰۵-۱۲۸

چکیده

روانگرایی از جمله پدیده‌های مخربی است که هر ساله باعث وارد شدن خسارات‌های زیادی به سازه‌های موجود در منطقه می‌شود. از جمله سازه‌های مهندسی، تونل‌ها می‌باشند که امروزه یکی از مهمترین و ضروری ترین نیازهای شهرنشینی مدرن هستند. این سازه‌ها بسته به صلیبت آنها نسبت به خاک اطرافشان متأثر از تغییر‌شکل های متفاوتی می‌باشند. در خاک‌های ماسه ای اشباع با اعمال بار دینامیکی در شرایط زهکشی نشده، فشار آب حفره ای افزایش، تنفس موئر بین ذرات کاهش و مقاومت برشی از بین رفته و خاک بصورت روان در می‌آید. در این حالت نیروهای داخلی وارد بر پوشش تونل، تغییر شکل‌ها و نشستهای سطحی نسبت به حالت استاتیکی افزایش یافته است. در این پژوهش با استفاده از نرم افزار FLAC-2D اقدام به مدل کردن تونل در حالت تک و دوکلو نموده و اثر تغییرات پارامترهای خاک (زاویه اصطکاک، چسبندگی، مدول ارجاعی و ضریب پواسون)، مشخصات هندسی تونل (قطر، عمق مدفون و فاصله تونل‌ها) و مشخصات بار هارمونیک (فرکانس، دامنه بار) بر نشست سطحی زمین و نیروهای داخلی پوشش تونل در حالت استاتیکی و دینامیکی مورد بررسی قرار گرفته است. این مطالعه نشان داد در خاک‌های که مستعد روانگرایی هستند، پارامترهای مذکور تاثیر به سزایی بر نشست سطحی زمین و نیروهای داخلی پوشش تونل خواهند داشت. نتایج بدست آمده با استفاده از نمودارها و جداول به تفصیل بیان می‌گردد.

واژه‌های کلیدی: تحلیل دینامیکی، روانگرایی، نشست سطحی زمین، نیروهای داخلی، FLAC-2D

۱- مقدمه

خرابی‌های وسیعی بر اثر روانگرایی خاک‌ها در سازه‌های زیرزمینی مشاهده شده است. مشاهده خسارات مشابه در زلزله‌های نیاگاتای ژاپن (۱۹۶۰)،

یکی از عوامل گسیختگی در حین زلزله که باعث خسارات فراوانی به طبیعت و زیر ساختهای شهری می‌گردد روانگرایی خاک می‌باشد. در بعضی از نقاط جهان

اثر حفاری تونل تک و دو قلو مورد بررسی قرار گرفته است. نتایج نشان می دهد با افزایش قطر، ضخامت پوشش تونل و همچنین با افزایش فاصله بین دو تونل، نشست کاهش می یابد.

(Azadi, M., & Hosseini, S. M. M 2010) استفاده از آنالیز عددی رفتار لرزه ای تونل در عمق کم در خاک های روانگرا را بررسی کردند و مشاهده نمودند نیروی محوری، نیروی برشی، لنگرخمشی و فشار آب حفره ای با کاهش فرکанс، افزایش می یابد. همچنین افزایش دامنه بار باعث افزایش شتاب افقی در سطح زمین و بالآمدگی سازه در خاک روانگرا می شود. در این بررسی مشخص گردید ضخامت تونل روی فشار آب حفره ای تاثیر ندارد و میزان بالآمدگی را کاهش می دهد. در یک (Rezania, M., Faramarzi, A., & Javadi, A. 2011) A. با استفاده از مدل EPR و شبکه عصبی، پیش بینی وقوع روانگرایی براساس داده ها را مورد ارزیابی قرار دادند. بر این اساس، روانگرایی ماسه اشباع وقتی اتفاق می افتد که فشار منفذی با فشار محصور برابر باشد. (Madabhushi, S. S. C., & Madabhushi, S. P. G. 2015) با استفاده از تست سانتریفوژ پدیده بالآمدگی تونل در خاک روانگرا تحت بار سیکلی را متأثر از عمق استقرار و مشخصات هندسی سازه دانستند.

(Unutmaz, B. 2014) با یک تحلیل سه بعدی به بررسی اثرات روانگرایی خاک اطراف تونل پرداخت و مشخص گردید تونل های عمیق تر، در مقایسه با تونل های سطحی در برابر روانگرایی کمتر آسیب پذیر هستند و پارامترهای ضخامت پوشش تونل و قطر تونل در خاک های مستعد روانگرا بر نیروهای داخلی تونل تاثیر ندارند. (Fattah, M. Y., Al-Neami, M. در همین راستا (Jajjawi, N. H. 2014) & در یک مطالعه پارامتریک از جمله اثر دامنه و فرکанс بار هارمونیک با روش المان محدود و مدول الاستیک خطی بر پتانسیل

، Luzon (1990) Nihonkai - Chubu(1983) (1995) Kobe(1999) Chi-Chi و منجیل (1990) محققین را به مطالعه در این مورد واداشته است. از جمله (Jennings, P. C. 1980) (Ed.) اشاره نمود که در آن تحقیق برای جدا کردن خاک های مستعد روانگرایی از خاک های بدون قابلیت روانگرایی، از عنوان "آستانه روانگرایی" استفاده شده است. دو عامل کلیدی مرکز شده در این معیار در صد ذرات رس (ذرات کوچک تر از ۵ میکرون) و دامنه ی خمیری خاک است.

(Seed, R. B., Cetin, K. O., Moss, R. E., Kammerer, A. M., Wu, J., Pestana, J. M., ... & Faris, A. 2003) اساس داده های جمع آوری شده از مشاهدات صحرا ای Chi (Kocaeli) در زلزله ۱۹۹۹ کوکاتلی (چی چی) (Chi) دستور العمل دیگری برای ارزیابی پتانسیل روانگرایی پیشنهاد دادند براساس این تحقیق، در صورتی که در صد رطوبت خاکی بیش از (LL ۰/۸) باشد، این خاک تحت بارهای سیکلی مستعد روانگرایی است. (Pakbaz, M. C., & Yareevand, A. 2005) در یک آنالیز عددی پاسخ لرزه ای تونل را وابسته به مشخصات هندسی تونل، روش حفاری، خواص خاک (سفتی، سطح تراز آب و غیره) و خواص بار وارد (دامنه، فرکанс، شتاب اوج و مدت تحریک) دانستند.

(تحقيق ارائه شده توسط پاکباز . م، حیدریزاده، ۲۰۰۸) به بررسی نشست خاک در اثر حفر تونل شهری اهواز پرداخته است. در این تحقیق با استفاده از روش عددی اجزاء محدود و نرم افزار پلکسیس و در نظر گرفتن رفتار غیر خطی موهر- کولمب خاک، به بررسی وضعیت نشست سطح زمین در اثر حفاری تونل شهری اهواز پرداخته و سپس تاثیر پارامترهای مختلف از جمله قطر، عمق و ضخامت پوشش تونل در نشست سطح زمین در

بر نشست سطحی زمین مورد بررسی قرار دادند. در (Fang, Q., Tai, Q., Zhang, D., & مطالعه دیگر Wong, L. N. Y. 2016) به ارزیابی نشست سطحی در اثر ساخت تونل ها با قطر بزرگ پرداختند. در این تحقیقات کمتر اثر روانگرایی بر نیروهای داخلی پوشش تونل با تغییر پارامترهای از قبیل مدول ارجاعی، زاویه اصطکاک و چسبندگی مورد مطالعه انجام گرفته است لذا در این مقاله با توجه به اهمیت موضوع با نرم افزار-Flac 2D به بررسی اثر تغییر پارامترهای خاک، بار وارد و مشخصات هندسی تونل بر نشست و نیروهای وارد بر تونل در خاک روانگرا تحت بار هارمونیک پرداخته شده است.

۲- نحوه مدل سازی و معرفی مدل مبنای

هدف از این مطالعه بررسی اثر روانگرایی خاک بر نیروهای داخلی تونل و نشست سطحی زمین در حالت تک و دو قلو می‌باشد. برای مدل سازی ابتدا تونل در محیط مدل شده و تعادل استاتیکی برقرار می‌شود. در مرحله‌ی بعد محیط تحت یک بار سیکلی در شرایط دینامیکی قرار می‌گیرد تا اثر روانگرایی خاک بر مقادیر نیروها و تغییر شکل‌ها مورد بررسی قرار گیرد. برای این منظور یک نوع خاک از نوع ماسه سست اشباع مطابق جدول ۱ در نظر گرفته شده است. برای اطمینان از روانگرایی خاک تغییرات فشار آب حفره‌ای و تنش موثر در تعدادی از نقاط کنترل می‌شود. برای مدل سازی روانگرایی و افزایش فشار آب حفره‌ای براساس (Azadi, M., & Hosseini, S. M. M مطالعات 2010) از مدل فین که مدل مناسبی برای ارزیابی روانگرایی است، استفاده می‌شود. بعد از تعادل استاتیکی محیط، تونل با مشخصات جدول ۲ مطابق اشکال ۱ تا ۲ مدل می‌گردد. میرایی از نوع محلی (LocalDamping) را

روانگرائی و فشار منفذی شن و ماسه اشباع شل، متوجه و متراکم مورد بررسی قرار دادند و مشخص گردید در مناطق مستعد روانگرائی با افزایش دامنه و فرکانس بار، فشار آب حفره‌ای (در شن و ماسه اشباع) و تغییر شکل (تجمعی) افزایش می‌یابد و شروع روانگرائی در نزدیکی انتهای بار وارد بوده و سپس گسترش می‌یابد و با افزایش عمق استقرار، مقدار سربار بیشتر شده و مقاومت روانگرائی افزایش می‌یابد.

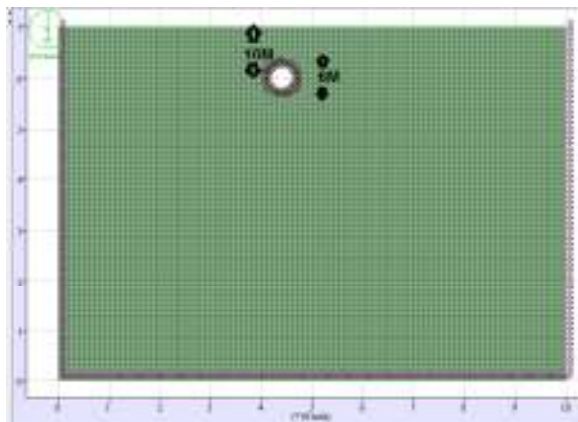
(Madabhushi, S. S. C., & Madabhushi, S. P. G. 2015) با استفاده از تست سانتریفوژ و تحلیل المان محدود، پاسخ لرزه‌ای تونل با مقطع مستطیل تحت بار سینوسی و بار واقعی زلزله کوبه (۱۹۹۵) را بررسی کردند. مقدار بالآمدگی تونل، فشار آب حفره‌ای و تاثیر نفوذپذیری مقایسه گردید. در این مطالعه مشاهده شد بالآمدگی تونل تحت بار سینوسی بیشتر و مقدار آن با افزایش نفوذپذیری به دلیل استهلاک سریع فشار آب حفره‌ای کاهش می‌یابد. همچنین مشاهده گردید در هنگام اعمال بار سینوسی، با شروع روانگرایی در خاک بالای تونل، فشار آب حفره‌ای زیر تونل تولید می‌شود. این پدیده در هنگام اعمال بار واقعی مشاهده نشد. همچنین کرنش محوری با کاهش نفوذپذیری، کاهش خواهد یافت و در هر دو حالت شتاب تونل و شتاب سطح زمین به طور قابل توجهی با شروع روانگرایی کاهش می‌یابد. در (Xiongyao, X., Yubing, Y., Mei J. 2016) با استفاده از آزمون لرزه‌ای تاثیر روانگرایی بر یک تونل مترو را مورد مطالعه قراردادند. در این تحقیق تغییر شکل، کرنش و جابجایی حاصل از روانگرایی تحت بار سیکلی را بررسی کردند و ماکریزم کرنش در بالای مدل مشاهده گردید. همچنین مقدار تغییرات فوق با توجه به میزان روانگرایی تغییر کردند. (Zhuang, H., Chen, C. 2016) در یک تحقیق تاثیر فاصله تونل های دو قلو با مشخصات هندسی مختلف را

خاک و پوشش تونل استفاده شده است (شکل ۳). المانهای واسطه در مدل مبنا دارای سختی برشی و قائم (MPa) ۴۸ می باشند. در شرایط دینامیکی به علت بازگشت موج در زمان برخورد به مرزها، شرایط مرزی خاصی برای جذب اثرات موج مورد نیاز می باشد. برای این منظور از شرایط مرزی آزاد (FF) استفاده شده است.

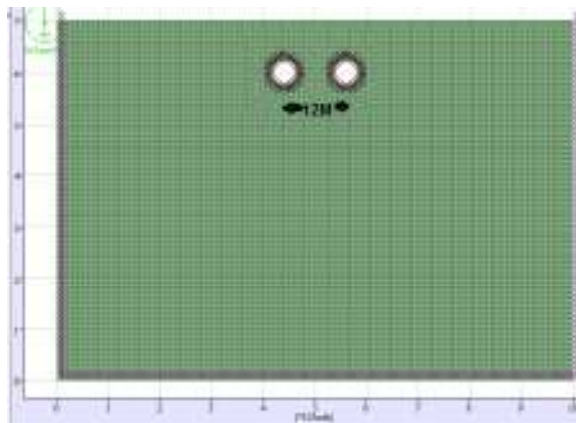
و به مقدار (۵ درصد) در نظر گرفته شده است. قطر حفاری ۶ متر و ضخامت پوشش تونل ۳۰ سانتی متر است. برای بررسی تغییرات نیروهای داخلی تونل از المان تیر (Beam) که دو گرهی هستند استفاده شده است. هر گره دارای سه درجه آزادی می باشد. با توجه به اینکه مدل در محیط خاکی مدل گردیده است، از المانهای واسطه بین

جدول ۱. مشخصات مصالح مدل مرجع

مقدار	واحد	پارامتر
۰	kPa	چسبندگی
۲۵	درجه	زاویه اصطکاک
۰-۱۰	m/sec	نفوذپذیری
۱۳/۸	MPa	مدول بالک
۳۰	MPa	مدول برشی
۰/۷۶	--	مدل finn (c ₁)
۰/۵۲	--	مدل finn (c _r)
۰/۲	--	مدل finn (c _f)
۰/۵	--	مدل finn (c _t)



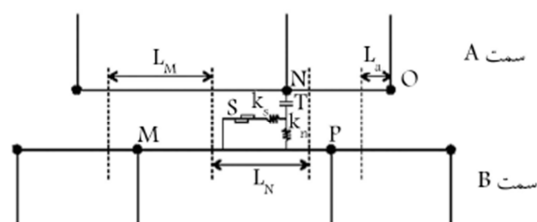
شکل ۱. نمایش تونل تک در مدل مبنا



شکل ۲. نمایش تونل دوبل در مدل مینا

جدول ۲. مشخصات تونل مدل مرجع

مقدار	واحد	پارامتر
۲۴	(kN / m ³)	وزن مخصوص
۷/۲۳۶×۱۰ ^۷	(kN / m ²)	مدول ارتجاعی
۰/۳۰	(m)	ضخامت پوشش تونل
۵/۴	(m)	قطر داخلی تونل (m)
۶	(m)	قطر حفاری



شکل ۳. نمایش المانهای واسطه

$$T = \text{ مقاومت کششی}$$

$$K_n = \text{ سختی عمودی}$$

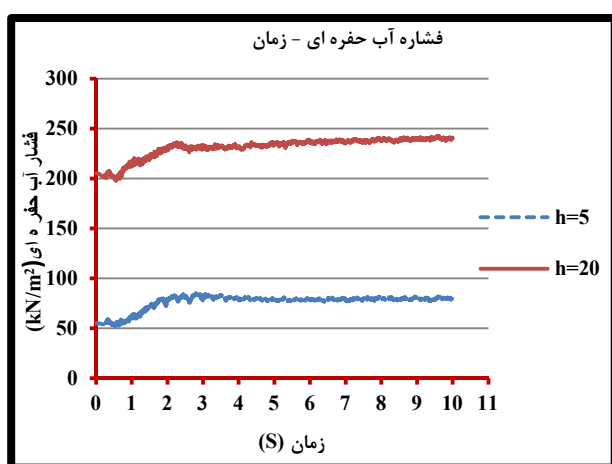
$$K_d = \text{ سختی برشی}$$

بارگذاری دینامیکی بصورت کامل ملاحظه گردد. براساس مطالعات انجام شده، پس از اعمال بار سیکلی فشار آب حفره ای افزایش و تنفس موثر کاهش یافته است. در اشكال ۵ و ۶ تغییرات فشار آب حفره ای و تنفس موثر در اعماق مختلف از سطح زمین مشاهده می شود با افزایش زمان بارگذاری فشار آب حفره ای افزایش و تنفس موثر کاهش یافته است. در عمق ۵ متری و ۲۰ متری از سطح زمین فشار آب حفره ای به ترتیب از ۰/۵kPa با ۸۰٪ افزایش به ۰/۹kPa و ۲/۰kPa با ۲۰٪ افزایش به ۲/۴kPa رسیده است که این امر حاکی از روانگرایی خاک در حالت زهکشی نشده می باشد.

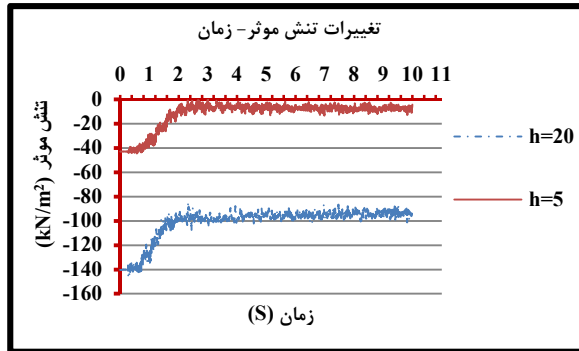
بعد از تعادل استایکی بار سیکلی به صورت شتاب نگاشت با ۱۰ سیکل رفت و برگشت به صورت رابطه ۱ اعمال می شود.

$$i\ddot{u}_g = A_g \sin(2\pi ft) \quad (1)$$

در این رابطه A_g دامنه شتاب، f فرکانس بار وارد و t زمان اعمال بار دینامیکی است. مطابق مطالعات آزادی (۲۰۱۰)، دامنه بارگذاری $0/3$ گرم و فرکانس سه هرتز در نظر گرفته شده است. مدت زمان اعمال بار دینامیکی نیز ۱۰ ثانیه می باشد. این زمان به نحوی درنظر گرفته شده است که روند تحلیل ها به یک حالت پایدار برسد و اثرات



شکل ۴. نمودار تغییرات فشار آب حفره ای در اعماق مختلف از سطح زمین تحت بارگذاری سیکلی

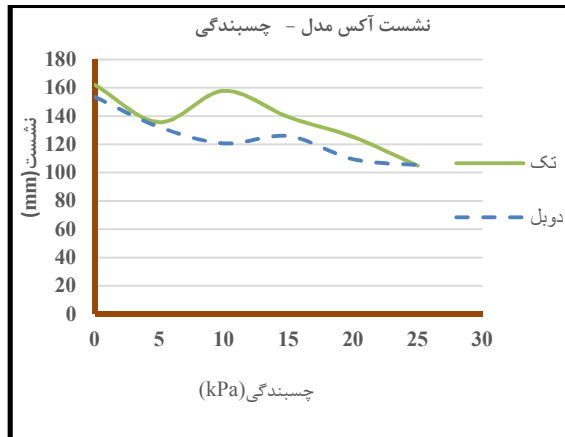


شکل ۵. نمودار تغییرات تنش موثر افقی در اعماق مختلف از سطح زمین تحت بارگذاری سیکلی

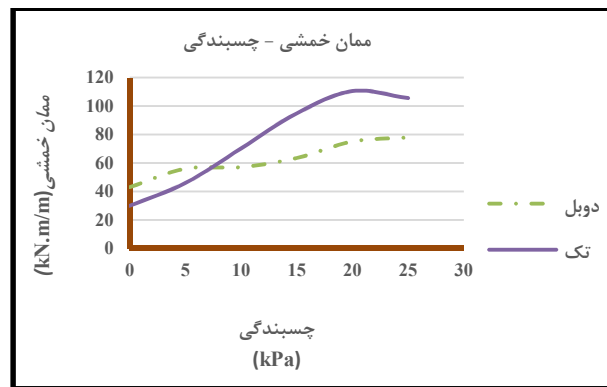
۱-۳- بررسی تغییرات چسبندگی خاک

مقدار چسبندگی از صفر تا ۲۵ کیلوپاسکال تغییر یافته و در هر بار تغییر، میزان نشست سطحی زمین و نیروهای داخلی وارد بر پوشش تونل محاسبه شده است. بوسیله اشکال ۶ تا ۹ نمودار این تغییرات برای تونل تک و دو قلو نمایش داده شده است.

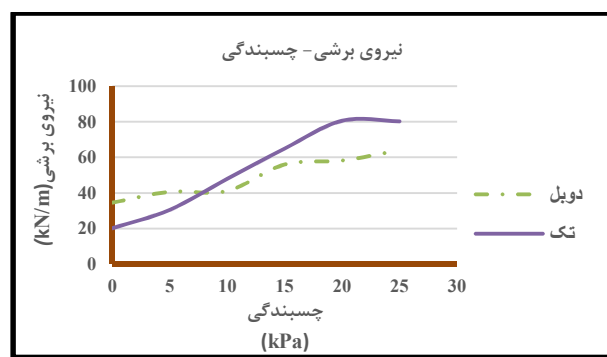
۳- بررسی اثر تغییرات پارامترهای مختلف بر نشست سطحی و نیروهای داخلی پوشش تونل
از جمله پارامترهای تاثیرگذار بر نشست سطحی و نیروهای داخلی پوشش تونل می‌توان به پارامترهای زاویه اصطکاک، چسبندگی، مدل الاستیسیته و پارامترهای هندسی تونل مانند قطر و عمق استقرار و پارامترهای بار لرزه‌ای مانند فرکانس و دامنه اشاره نمود. در ادامه، تحلیل‌های انجام شده و نتایج حاصل شده تشریح می‌گردد.



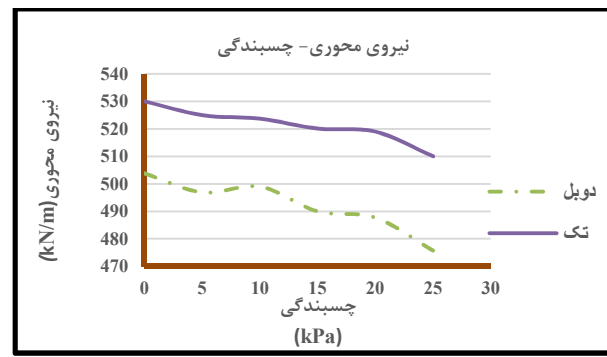
شکل ۶. نمودار تغییرات نشست سطحی - چسبندگی تحت بارگذاری سیکلی



شکل ۷ نمودار تغییرات ممان خمشی - چسبندگی تحت بارگذاری سیکلی



شکل ۸. نمودار تغییرات نیروی برشی - چسبندگی تحت بارگذاری سیکلی



شکل ۹. نمودار تغییرات نیروی محوری - چسبندگی تحت بارگذاری سیکلی

افزایش داشته است. نیروی محوری برای حالت تک ۲٪ و برای حالت دو قلو ۴٪ کاهش داشته است. همچنین نشست سطحی نیز به ترتیب به میزان ۳۵٪ و ۳۱٪ نسبت به مدل مبنا کاهش داشته‌اند. این نتایج نشان می‌دهد افزایش

بر اساس این نتایج ممان خمشی در حالت تک ۲۶۶٪ و برای حالت دو قلو ۸۱٪ افزایش یافته است و در ادامه تحلیل روند ثابتی پیدا کرده است. همچنین نیروی برشی در دو حالت تک و دو قلو به ترتیب ۳۰۰٪ و ۱۰۰٪

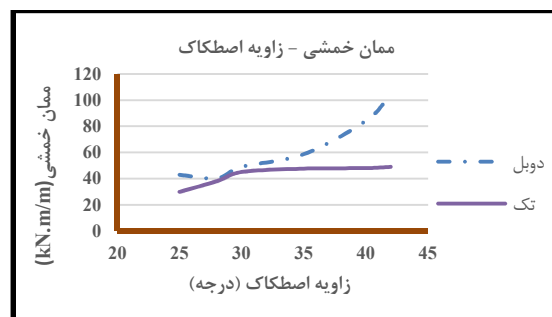
این روند برای زاویه اصطکاک تقریباً "بیشتر از ۴۰ درجه کاهش می‌یابد. همچنین نیروی محوری به ترتیب ۹٪ و ۸٪ کاهش یافته است.

علت تغییرات فوق این است که با افزایش زاویه اصطکاک ضریبی جانبی کاهش یافته است و چون تنفس افقی ضریبی از تنفس قائم است با کاهش این ضریب تنفس افقی خاک کاهش یافته است. با کاهش تنفس افقی و ثابت بودن تنفس قائم، نشت و نیروهای داخلی افزایش می‌یابد. با توجه به نتایج، افزایش زاویه اصطکاک بیشترین تاثیر را روی نیروی برشی و کمترین تاثیر را روی نیروی محوری داشته است.

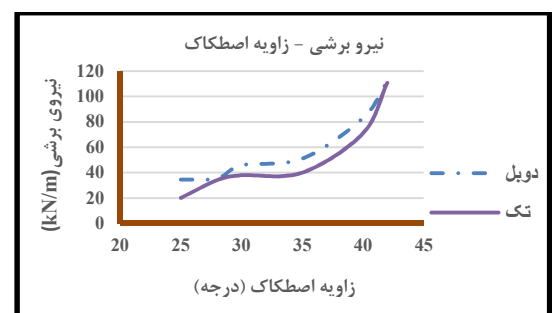
چسبندگی، باعث افزایش خاصیت سیماناتاسیون خاک و افزایش مقاومت برشی، پایداری خاک و کاهش پتانسیل روانگرایی گردیده است.

۳-۲- بررسی اثر تغییرات زاویه اصطکاک

با افزایش زاویه اصطکاک از ۲۵ تا ۴۲ درجه، نتایج تحلیل برای تغییرات نشت سطحی و نیروهای داخلی بوسیله اشکال ۱۰ تا ۱۳ نمایش داده شده است. با افزایش زاویه اصطکاک به میزان ۶۸٪، ممان خمی، در حالت تک و دوبلو به ترتیب ۳۹٪ و ۱۴۱٪، نیروی برشی به ترتیب ۴۵۰٪ و ۲۲۴٪ و نشت سطحی به ترتیب ۲۵٪ و ۲۴٪ افزایش یافته اند. در نمودار نشت مشاهده می‌شود



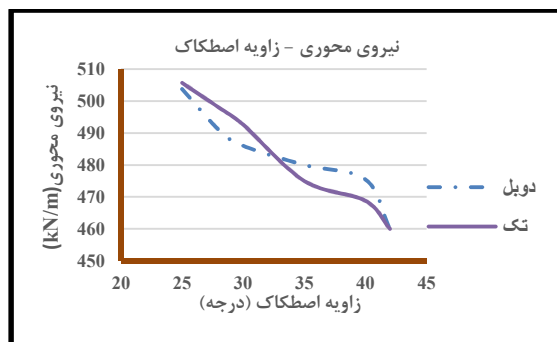
شکل ۱۰. نمودار تغییرات ممان خمی با زاویه اصطکاک تحت بارگذاری سیکلی



شکل ۱۱. نمودار تغییرات نیروی برشی با زاویه اصطکاک تحت بارگذاری سیکلی



شکل ۱۲. نمودار تغییرات نشست سطحی با زاویه اصطکاک تحت بارگذاری سیکلی



شکل ۱۳. نمودار تغییرات نیروی محوری با زاویه اصطکاک تحت بارگذاری سیکلی

در جدول ۳ و اشکال ۱۴ تا ۱۶ مشاهده می شود. با افزایش مدل ارتجاعی انعطاف پذیری خاک کمتر شده است و براساس این نتایج ممان خمسمی برای حالت تک و دو قلو به ترتیب، ۱۰۶٪ و ۲۵٪ نیروی برشی به ترتیب ۱۷۵٪ و ۵۵٪ افزایش و نشست سطحی ۷٪ و ۱۶٪ کاهش نسبت به مدل مبنا داشته اند. با توجه به نتایج جدول ۳ تغییرات نیروی محوری با افزایش مدل ارتجاعی ناچیز بوده و روند مشخصی ندارد.

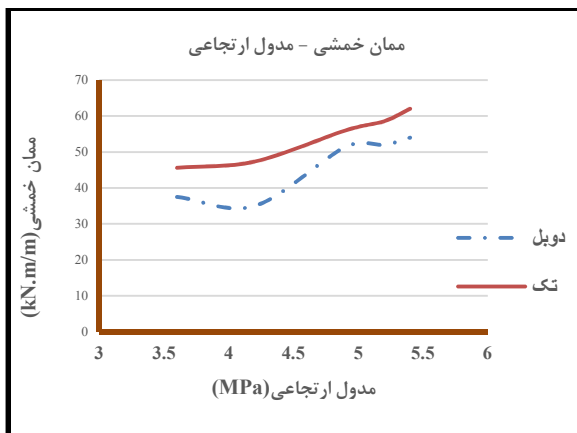
۳-۳- بررسی اثر تغییرات مدلول ارجاعی

از پارامترهایی که انعطاف پذیری خاک را نشان می دهند، می توان به مدلول ارجاعی و ضریب پواسون خاک اشاره نمود. در نرم افزار FLAC رابطه این ضرایب با مدلول برشی و مدلول بالک خاک بصورت زیر تعریف می شوند:

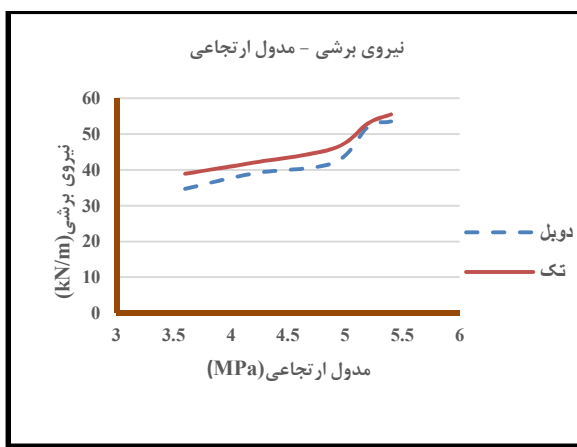
$$K = \frac{E}{3(1-2\nu)} \quad (2)$$

$$G = \frac{E}{2(1+\nu)} \quad (3)$$

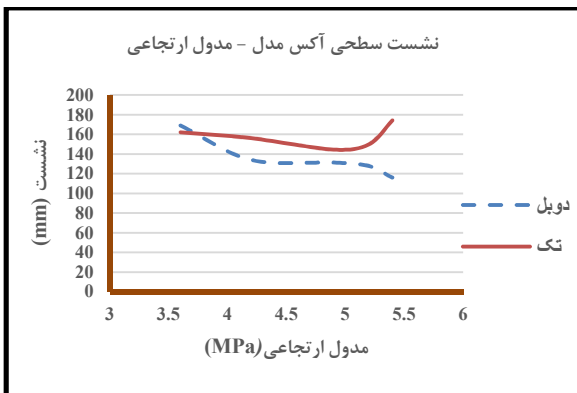
با افزایش مدلول الاسیسیته از $\frac{5}{4}$ تا $\frac{3}{6}$ مگاپاسکال یعنی ۵۰٪ افزایش، تغییرات نیروی های داخلی و نشست سطحی



شکل ۱۴. نمودار تغییرات ممان خمشی با مدول ارتجاعی تحت بارگذاری سیکلی



شکل ۱۵. نمودار تغییرات نیروی برشی با مدول ارتجاعی تحت بارگذاری سیکلی



شکل ۱۶. نمودار تغییرات نشست سطحی با مدول ارتجاعی تحت بارگذاری سیکلی

۳-۴- بررسی اثر تغییرات عمق استقرار

باعث افزایش نیروهای داخلی شده است همچنین با فاصله گرفتن از سطح زمین، مقدار نشست نیز کاهش می‌یابد. با توجه به جداول ۴ و ۵ روند تغییرات نشست سطحی با افزایش عمق استقرار از ۵ تا ۱۴ متر افزایش و برای عمق‌های بیشتر از ۱۴ متر کاهش می‌یابد. همچنین این روند برای نیروی برشی نیز حاکم است. لذا می‌توان نتیجه گرفت عمق ۱۴ متر عمق بحرانی این تحلیل می‌باشد.

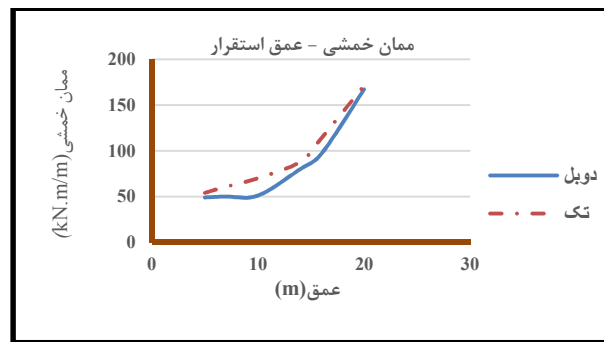
عمق استقرار تونل از ۵ تا ۲۰ متر تغییر یافته است. اشکال ۱۷ تا ۱۸ اثر تغییرات عمق استقرار بر میزان نشست سطحی و نیروهای داخلی را نمایش می‌دهند. مشاهده می‌شود نیروهای داخلی و نشست سطحی برای تونل تک و دوپل به ترتیب ممکن خمثی ۳۸٪ و ۵۸٪، نیروی برشی ۱۸۳٪ و ۲۱۱٪، نیروی محوری ۶۰٪ و ۵۸٪ افزایش و نشست سطحی به ترتیب ۵٪ و ۹٪ کاهش یافته اند. علت این تغییرات آن است که با افزایش عمق استقرار، مقدار سربار روی تاج تونل افزایش یافته که

جدول ۳. تغییرات نیروی محوری با مدول ارتعاضی تحت بار گذاری سیکلی

نسبت نیروی محوری به مدل مبنا		نیروی محوری (kN/m)		مدول ارتعاضی (kPa)
دوپل (%)	تک (%)	دوپل	تک	
--	--	۵۰۴	۴۹۸	۳/۶
-۳/۱	-۱/۴	۴۸۸	۴۹۱	۴/۲
-۲/۳	۴/۲	۴۹۲	۵۱۹	۴/۹
۰/۴	۱/۸	۵۰۲	۵۰۷	۵/۲
-۲/۷	۱	۴۹۰	۵۰۳	۵/۴



شکل ۱۷. نمودار تغییرات نیروی محوری با عمق استقرار تونل تحت بارگذاری سیکلی



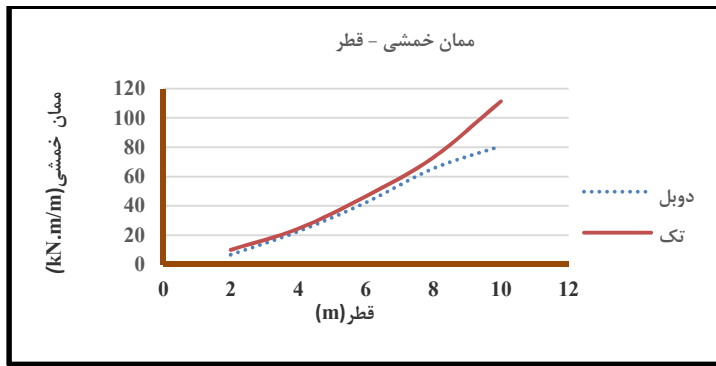
شکل ۱۸. نمودار تغییرات ممان خمثی با عمق استقرار تونل تحت بارگذاری سیکلی

جدول ۴. تغییرات نشست سطحی با عمق استقرار تونل تحت بارگذاری سیکلی

نسبت نیروی محوری به مدل مبنا		نیروی برشی (kN/m)		عمق (m)
دو قلو (%)	تک (%)	دو قلو	تک	
۱۹	-۳۲	۱۴۶/۸۲	۱۱۲	۵
۱۶	۵	۱۴۳	۱۷۳/۴	۷
--	--	۱۲۳	۱۶۴/۸	۱۰
۲۴	۱۴	۱۶۴/۸۴	۱۸۸/۷۴	۱۴
۱۹	۹	۱۴۷	۱۷۹/۶۲	۱۶
۹	۵	۱۳۴	۱۷۳	۲۰

جدول ۵. تغییرات نیروی برشی با عمق استقرار تونل تحت بارگذاری سیکلی

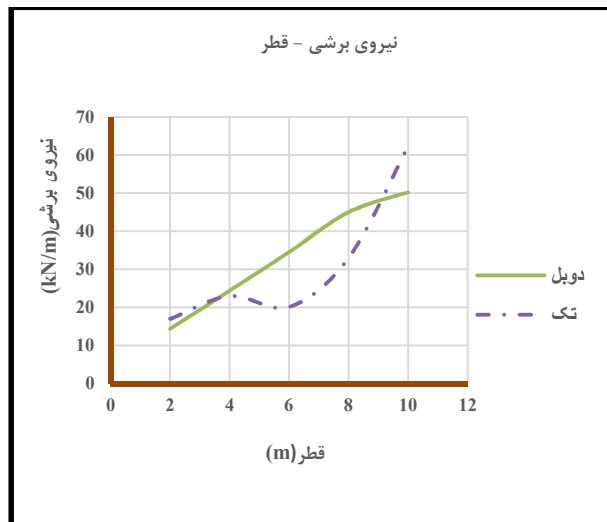
نسبت نیروی برشی به مدل مبنا		نیروی برشی (kN/m)		عمق (m)
دو قلو (%)	تک (%)	دو قلو	تک	
۹۳	۴۸	۷۴	۵۱	۵
۴۵	۷۱	۵۵/۶	۵۹	۷
--	--	۳۸/۳	۳۴/۴	۱۰
۱۵۸	۱۱۲	۹۸/۹	۷۳/۱۱	۱۴
۱۰۱	۱۴۶	۷۷/۳	۸۴	۱۶
۲۲۳	۲۶۰	۱۲۴	۱۲۴	۲۰



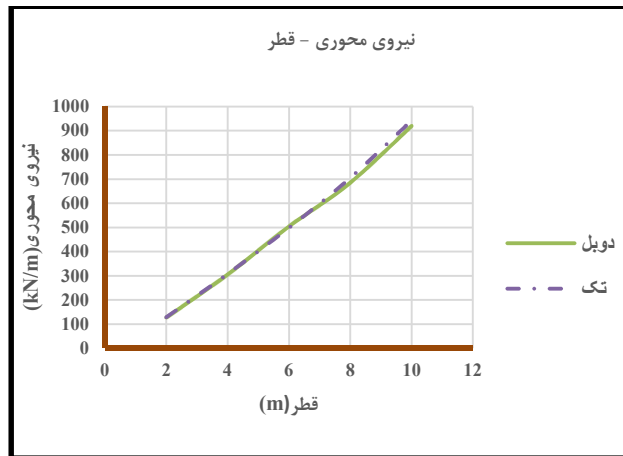
شکل ۱۹. نمودار تغییرات ممان خمشی با قطرهای مختلف حفاری تونل تحت بارگذاری سیکلی

دوبل به ترتیب ۹۸٪ و ۷۰۰٪ ممان خمشی، ۲۶۴٪ و ۲۵۷٪ نیروی برشی و ۹۹٪ و ۸۳٪ نیروی محوری افزایش و نشست سطحی ۴۰٪ و ۴۲٪ کاهش یافته است. این نتایج نشان می‌دهد با افزایش قطر حفاری اثر توزیع تنش بر محیط اطراف تونل افزایش پیدا کرده است.

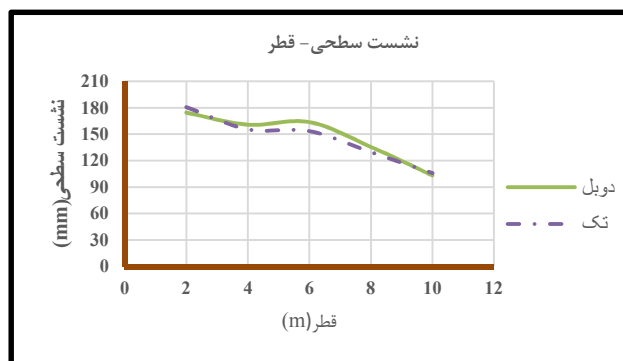
۳-۵-بررسی اثر تغییرات قطر حفاری در اشکال ۱۹ تا ۲۲ تغییرات نشست سطحی و نیروهای داخلی برای قطرهای مختلف حفاری از ۲ تا ۱۰ متر نشان داده شده است. بر اساس نتایج بدست آمده، مقدار نیروهای داخلی و نشست سطحی برای حالت تک و



شکل ۲۰. نمودار تغییرات نیروی برشی با قطرهای مختلف حفاری تونل تحت بارگذاری سیکلی



شکل ۲۱. نمودار تغییرات نیروی محوری با قطرهای مختلف حفاری تونل تحت بارگذاری سیکلی

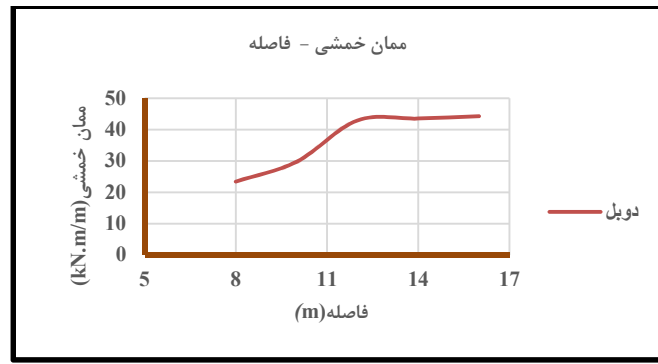


شکل ۲۲. نمودار تغییرات نشست سطحی با قطرهای مختلف حفاری تونل تحت بارگذاری سیکلی

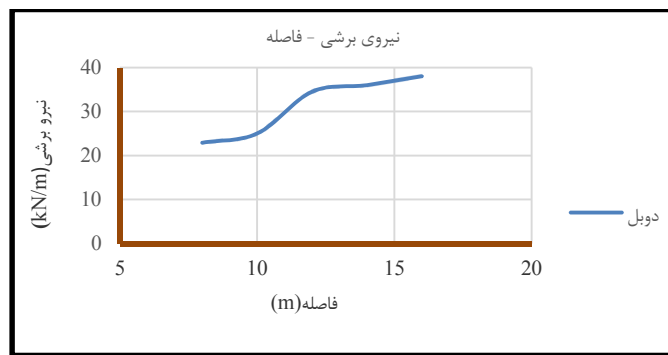
۳-۶- بررسی اثر تغییرات فاصله تونل‌ها از یکدیگر
فاصله مراکز تونل از ۸ تا ۱۶ متر افزایش یافته است. در اثر تغییرات فاصله، نیروهای داخلی و نشست سطحی زمین تغییر یافته‌اند. این تغییرات محاسبه و در اشکال ۲۳ تا ۲۶ ارایه شده‌اند. بر این اساس ممان خمی ۹۱٪ نیروی برشی ۴۶٪ نیروی محوری ۳٪ و نشست سطحی

۳-۶- بررسی اثر تغییرات فاصله تونل‌ها از یکدیگر

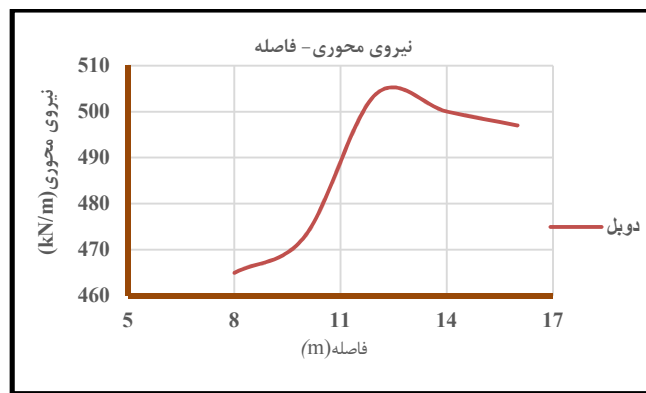
فاصله مراکز تونل از ۸ تا ۱۶ متر افزایش یافته است. در اثر تغییرات فاصله، نیروهای داخلی و نشست سطحی زمین تغییر یافته‌اند. این تغییرات محاسبه و در اشکال ۲۳ تا ۲۶ ارایه شده‌اند. بر این اساس ممان خمی ۹۱٪ نیروی برشی ۴۶٪ نیروی محوری ۳٪ و نشست سطحی



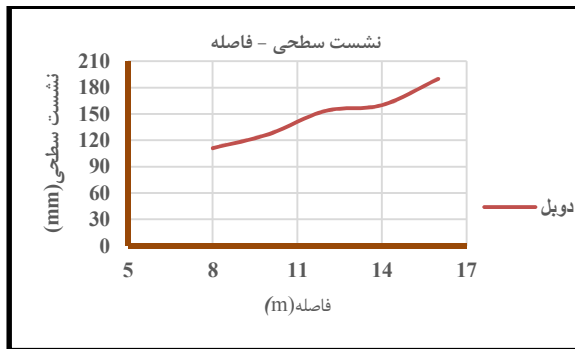
شکل ۲۳. نمودار تغییرات ممان خمشی با فاصله تونل‌ها تحت بارگذاری سیکلی



شکل ۲۴. نمودار تغییرات نیروی برشی با فاصله تونل‌ها تحت بارگذاری سیکلی



شکل ۲۵. نمودار تغییرات نیروی محوری با فاصله تونل‌ها تحت بارگذاری سیکلی

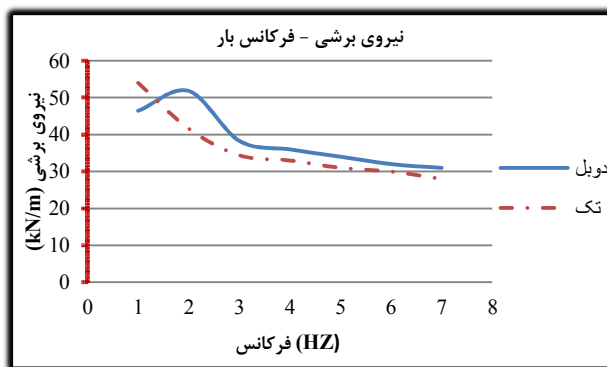


شکل ۲۶. نمودار تغییرات نشست سطحی با فاصله تونل‌ها تحت بارگذاری سیکلی

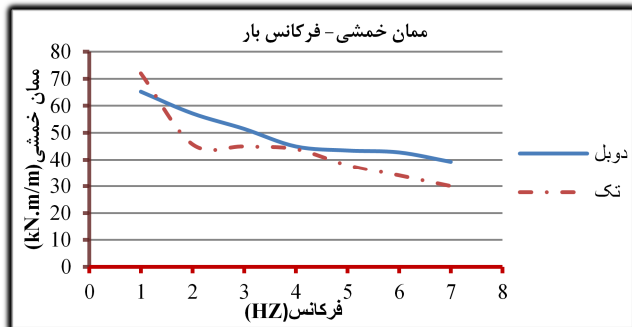
می شود. براساس نتایج بدست آمده، مقدار نیروی برشی برای حالت تک و دوپل به ترتیب ۴۰٪ و ۴۴٪ و ممان خمی، به ترتیب ۳۲٪ و ۲۷٪ کاهش یافته است. علت این تغییرات کاهش فشار آب حفره‌ای با افزایش فرکанс می باشد. با افزایش فرکанс بار، زمان بیشتری برای وارد شدن سیکل بعدی فراهم خواهد شد که در این فرصت بار وارد به آب موجود در خاک کاهش می‌یابد.

۳-۳- بررسی اثر تغییرات فرکانس بار

یکی از پارامترهایی که در تغییرات نیروها و تغییرشکل‌های محیط اثرات زیادی دارد، فرکانس بار سیکلی است. بررسی‌های انجام شده نشان می‌دهد که با افزایش فرکانس بار، میزان نیروها و تغییرشکل‌های وارد بر پوشش تونل کاهش می‌یابد. این تغییرات در جدول ۶ و ۷ و اشکال ۲۷ تا ۲۸ برای فرکانس ۱ تا ۷ هرتز مشاهده



شکل ۲۷. نمودار تغییرات نیروی برشی با فرکانس بارگذاری سیکلی



شکل ۲۸. نمودار تغییرات ممان خمثی با فرکانس بارگذاری سیکلی

است. همچنین نشست سطحی برای حالت تک و دو قلو به ترتیب با افزایش فرکانس بار 4% و 14% نسبت به مدل مبنا کاهش داشته است.

همچنین با توجه به جداول ۶ و ۷ نیروی محوری و نشست سطحی روند مشخصی ندارند و در حالت کلی با افزایش فرکانس بار در حالت تک نیروی محوری $2/3\%$ و در حالت دو قلو 9% نسبت به مدل مبنا کاهش داشته

جدول ۶. تغییرات نیروی محوری با فرکانس بارگذاری سیکلی

نیروی محوری به مدل مبنا (kN/m)	نیروی محوری (kN/m)			
	دو قلو (%)	تک (%)	دو قلو	تک
۱	۹	۹	۵۴۶	۵۴۵
۲	-۳	۳	۴۹۶	۵۱۱
۳	--	--	۵۱۲	۴۹۸
۴	-۴	۷	۴۹۲	۵۳۴
۵	۲	۸	۵۲۳	۵۴۰
۶	-۱	۶	۵۰۶	۵۲۶
۷	-۳	۷	۴۹۵	۵۳۲

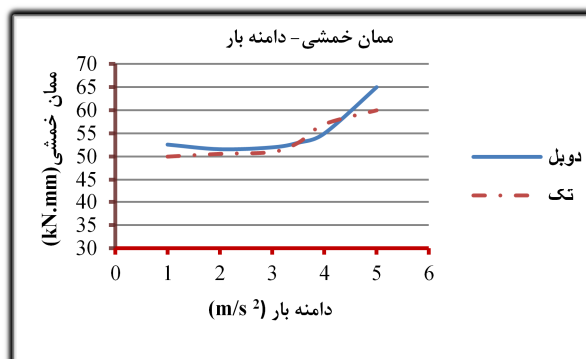
جدول ۷. تغییرات نشست سطحی با فرکانس بارگذاری سیکلی

نسبت نشست سطحی به مدل مبنا	نشست سطحی		فرکانس بار (HZ)	
	دوقولو (%)	تک (%)		
-۲۲	-۲۳	۱۳۱	۱۲۴	۱
-۲۱	۲/۴	۱۱۶	۱۶۶	۲
--	--	۱۶۹	۱۶۲	۳
-۲۸	-۲/۴	۱۲۲	۱۵۸	۴
-۴۵	-۳۶	۹۲	۹۸	۵
-۴۸	-۴۲	۸۸	۹۳	۶
-۳۴	-۲۷	۱۱۲	۱۱۸	۷

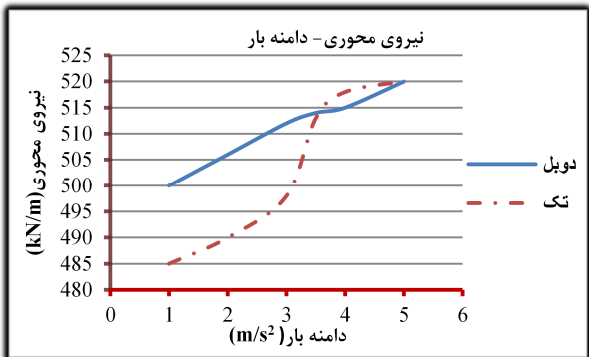
۳-۸- بررسی اثر تغییرات دامنه بار

است. همچنین نشست سطحی برای تونل تک و دو قولو از ۰/۰ گرم تا ۰/۳ گرم افزایشی به میزان ۷۶٪ افزایش داشته است. همانطور که در این نمودار مشخص است با افزایش دامنه بار از ۰/۳ گرم تا ۰/۵ گرم تغییرات تا ۱۲٪ برای دو حالت تک و دو قولو نسبت به مدل مبنا کاهش داشته است. همچنین تغییرات نیروی برشی نسبت به مدل مبنا روند مشخصی نداشت. علت این تغییرات این است که با افزایش دامنه بار فشار آب حفره‌ای افزایش یافته است.

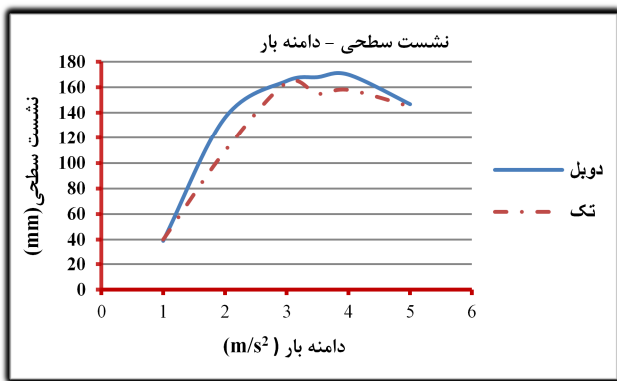
یکی از پارامترهایی که در تغییرات نیروها و تغییرشکل‌های محیط اثرات زیادی دارد، دامنه بارسیکلی است. بررسی‌های انجام شده نشان می‌دهد که با افزایش دامنه بار، میزان نیروها و تغییرشکل‌های وارد بر پوشش تونل افزایش می‌یابد. این تغییرات در اشکال ۲۹ تا ۳۱ برای دامنه بار ۰/۰ گرم تا ۰/۵ گرم مشاهده می‌شود. تغییرات ممان خمثی برای تونل تک و دو قولو نسبت به مدل مبنا به ترتیب ۲۰٪ و ۳۰٪ افزایش یافته است. این تغییرات برای نیروی محوری به ترتیب ۷٪ و ۴٪ بوده



شکل ۲۹. تغییرات ممان خمثی با دامنه بار گذاری سیکلی



شکل ۳۰. تغییرات نیروی محوری با دامنه بار گذاری سیکلی

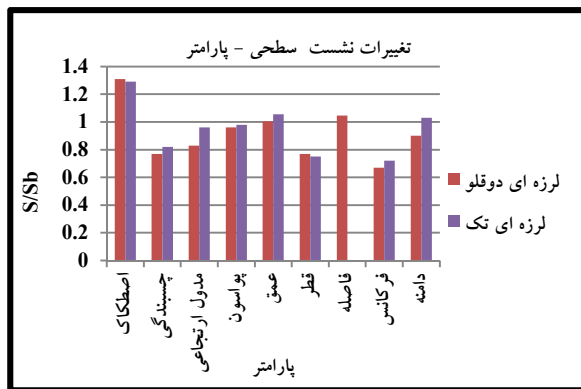


شکل ۳۱. تغییرات نشست سطحی با دامنه بار گذاری (سیکلی)

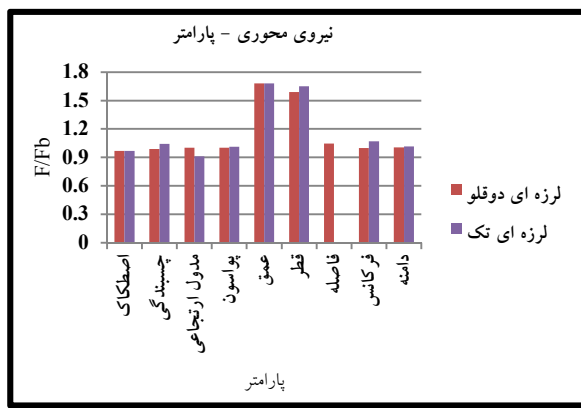
۴- تفسیر نتایج

عمق می باشد. برای تونل تک و تونل دو قلو ۶۸٪ نسبت به مدل مینا افزایش دارد. همچنین در شکل (۳۴) پارامتر موثر در حداقل نیروی برشی پارامتر عمق می باشد. بر اساس نتایج، با افزایش عمق برای تونل تک ۴۴۸٪ و تونل دو قلو ۱۵۰٪ نسبت به مدل مینا افزایش را نشان می دهد. با توجه به شکل (۳۵) از پارامترهای موثر بر حداقل ممان خمسی، پارامتر عمق می باشد. با افزایش عمق برای تونل تک ۳۳۵٪ و برای تونل ۱۸۲٪ افزایش نسبت به مدل مینا را نشان می دهد.

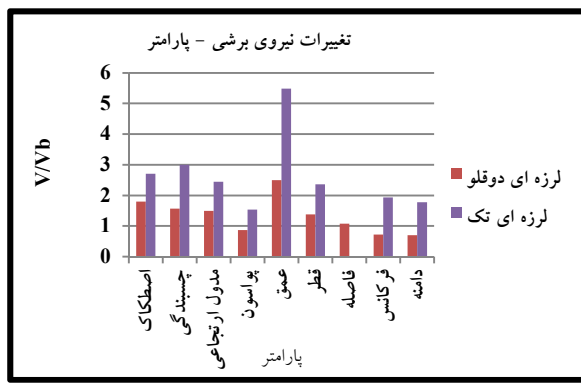
با توجه به بررسی های انجام شده در این تحقیق پارامترهای موثر در حداقل مقدار نیروی های داخلی و نشست سطحی نسبت به نتایج مدول مینا که در جدول (۸) آمده است و به کمک اشکال (۳۲) تا (۳۵) نیز مقایسه گردیده اند. با توجه نمودار نشست سطحی در شکل (۳۲)، پارامتر زاویه اصطکاک پارامتر موثر در حداقل نشست سطحی می باشد که برای حالت تک ۲۹٪ و حالت دو قلو ۳۱٪ نسبت به مدل مینا افزایش داشته است. در شکل (۳۳) پارامتر موثر در حداقل نیروی محوری پارامتر



شکل ۳۲. تغییرات نشست سطحی با پارامترهای مختلف مدل تحت بارگذاری سیکلی



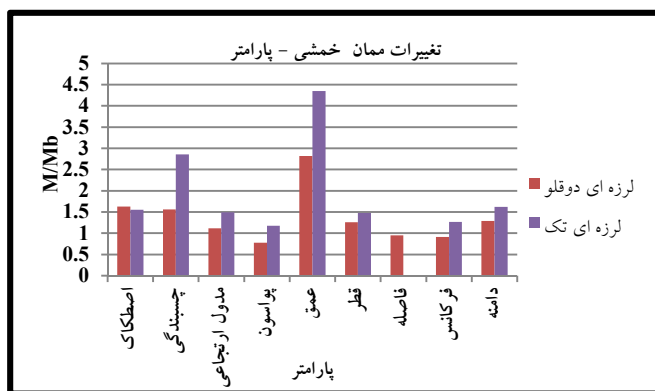
شکل ۳۳. تغییرات نیروی محوری با پارامترهای مختلف مدل تحت بارگذاری سیکلی



شکل ۳۴. تغییرات نیروی برشی با پارامترهای مختلف مدل تحت بارگذاری سیکلی

وارد بر پوشش تونل گردیده است. همچنین با افزایش زاویه اصطکاک فشار جانبی کاهش و چون فشار جانبی ضریبی از فشار قائم است و فشار قائم خاک افزایش یافته است. مقدار نشست سطحی و نیروها افزایش پیدا کرده است.

با توجه به نتایج بدست آمده پارامترهای مشخصات هندسی تونل (عمق و قطر) و زاویه اصطکاک از مشخصه‌های خاک، عوامل موثر در حداکثر میزان نیروهای داخلی می‌باشند. با افزایش عمق میزان سربار تاج تونل افزایش یافته و با افزایش قطر توزیع نیروها بر محیط اطراف تونل افزایش پیدا کرده و موجب افزایش نیروهای



شکل ۳۵. تغییرات ممان خمثی با پارامترهای مختلف مدل تحت بارگذاری سیکلی

جدول ۸. نتایج بدست آمده برای مدل مبنا جهت مقایسه برای اثر تغییرات پارامترها

خر裘جی				ورودی												نتیجه
مان خمثی (kN.m/m)	نیروی بیرونی (kN/m)	نیروی محوری (kN/m)	نشست (mm)	عیان	(H _z) پیش	(m) پیش	(m) اصطکاک	(m) نهاد	(m) نهاد	(m/s) نهاد	(kPa) برد	برد میله ارتعاشی (MPa)	(kPa) لرزه ای (σ)	(kPa) پیشندگی (σ)		
D	D	D	D													
۲۰	۲۰	۴۹۸	۱۶۲	۰/۳g	۳	۱۲	۶	۱۰	۱/۳	۱۰ ^{-۴}	۱۵	۱/۳	۳۶	۲۵	۰	
۲۶	۲۴	۵۰۴	۱۵۴	۰/۳g	۳	۱۲	۶	۱۰	۱/۳	۱۰ ^{-۴}	۱۵	۱/۳	۳۶	۲۵	۰	

۵- نتیجه‌گیری

۷- با افزایش فاصله از ۸ تا ۱۶ متر نیروهای داخلی و نشست سطحی زمین تغییر یافته است. بر این اساس ممان خمسی ۹۱٪، نیروی برشی ۴۶٪ نیروی محوری ۳٪ و نشست سطحی ۷۰٪ افزایش یافته‌اند. روند نیروی‌های داخلی تا فاصله ۱۲ متر افزایش چشمگیری داشته و بعد از آن روند تغییرات تغییر چندانی نداشته است. این روند بیانگر آن است. در فاصله‌های بیشتر روند تغییرات ثابت شده است.

۸- با افزایش فرکانس مقدار نیروهای داخلی و نشست سطحی برای حالت تک و دوکلو به ترتیب ۴۴٪ و ۴۰٪. ممان خمسی، ۲۷٪ و ۳۲٪ نیروی برشی کاهش یافته است. همچنین نشست سطحی ۱۴٪ کاهش یافته است. علت این تغییرات کاهش فشار آب حفره‌ای با افزایش فرکانس می‌باشد. با افزایش فرکانس بار، زمان بیشتری برای وارد شدن سیکل بعدی فراهم خواهد شد که در این فرصت بار وارد به برآب موجود در خاک کاهش می‌یابد.

۹- با افزایش دامنه بار، فشار آب حفره‌ای افزایش یافته است و باعث افزایش نیروهای داخلی و نشست سطحی گردیده است. بررسی‌های انجام شده نشان می‌دهد که با افزایش دامنه بار، میزان نیروها و تغییرشکل‌های وارد بر پوشش تولن افزایش می‌یابد. برای دامنه بار ۰/۱ گرم تا ۰/۵ گرم تغییرات ممان خمسی ۳۰٪ افزایش یافته است. این تغییرات برای نیروی محوری به ترتیب ۷٪ و ۴٪ بوده است. همچنین نشست سطحی ۷۶٪ افزایش داشته است. برای افزایش دامنه بار از ۰/۳ گرم تا ۰/۵ گرم تغییرات تا ۱۲٪ برای دو حالت تک و دوکلو نسبت به مدل مبنای کاهش داشته است. علت این تغییرات این است که با افزایش دامنه بار، ستایب بار وارد بر مدل افزایش یافته و باعث افزایش فشار آب حفره‌ای گردیده است.

در این مطالعه اثر روانگرایی خاک اطراف تولن بر نیروهای داخلی پوشش تولن و نشست سطحی مورد بررسی قرار گرفته و نتایج ذیل حاصل گردیده است.

۱- در خاک‌های ماسه‌ای اشباع، با اعمال بار دینامیکی در شرایط زهکشی نشده، فشار آب حفره‌ای حدود ۲۰٪ افزایش یافته و با کاهش تنش موثر بین ذرات، مقاومت برشی از بین رفته و خاک بصورت روان در می‌آید.

۲- با افزایش چسبندگی خاک، پایداری خاک افزایش و پتانسیل روانگرایی کاهش یافته است. براساس این نتایج نیروی محوری با افزایش میزان چسبندگی ۶٪ افزایش داشته است و نشست سطحی نیز به ترتیب به میزان ۳۵٪ و ۳۱٪ کاهش داشته‌اند.

۳- با افزایش زاویه اصطکاک، میزان نیروهای داخلی افزایش یافته است و نشست سطحی نیز حدود ۲۵٪ افزایش پیدا کرده است. علت این امر کاهش نیروی افقی خاک با افزایش زاویه اصطکاک است و در نتیجه تنش افقی کم می‌شود.

۴- با افزایش مدلول ارجاعی سختی خاک افزایش پیدا کرده و باعث افزایش ممان خمسی ۲۵٪، نیروی برشی ۵۵٪ افزایش و نشست سطحی ۱۶٪ کاهش نسبت به مدل مبنای داشته‌اند و بر نیروی محوری تاثیر زیادی نداشته است.

۵- با افزایش عمق استقرار مقدار سربار روی تاج تولن افزایش یافته و به علت فاصله یافتن از سطح زمین، مقدار نشست نیز کاهش یافته است. ممان خمسی ۵۸٪، نیروی برشی ۱۸۳٪ و نیروی محوری ۶۰٪ افزایش و نشست سطحی ۹٪ کاهش یافته است.

۶- با افزایش قطر حفاری، مقدار نیروهای داخلی افزایش و نشست سطحی ۴۰٪ کاهش یافته است. این تغییرات بعلت افزایش قطر حفاری، توزیع تنش بر محیط تولن افزایش پیدا کرده است.

۶-مراجع

- Chian, S. C., & Madabhushi, S. P. G. (2012), "Effect of buried depth and diameter on uplift of underground structures in liquefied soils". *Soil Dynamics and Earthquake Engineering*, 41, pp.181-190.
- Unutmaz, B. (2014), "3D liquefaction assessment of soils surrounding circular tunnels. *Tunneling and Underground Space Technology*, 40, 85-94.
- Fattah, M. Y., Al-Neami, M. A., & Jajjawi, N. H. (2014). Prediction of liquefaction potential and pore water pressure beneath machine foundations. *Central European Journal of Engineering*, 4(3), pp.226-249.
- Madabhushi, S. S. C., & Madabhushi, S. P. G. (2015), Finite element analysis of floatation of rectangular tunnels following earthquake induced liquefaction. *Indian Geotechnical Journal*, 45(3), pp.233-242.
- Xiongyao, X., Yubing, Y., Mei J. (2016), "Analysis of ground surface settlement induced by the construction of a large-diameter shield-driven tunnel in shanghai, China. *Tunneling and UndergroundSpaceTechnology*,51: pp. 120-132.
- Zhuang, H., Chen, G., Hu, Z., & Qi, C. (2016), Influence of soil liquefaction on the seismic response of a subway station in model tests. *Bulletin of Engineering Geology and the Environment*, 75(3) pp.1169-1182.
- Fang, Q., Tai, Q., Zhang, D., & Wong, L. N. Y. (2016). Ground surface settlements due to construction of closely-spaced twin tunnels with different geometric arrangements. *Tunneling and underground space technology*, 51.
- Pakbaz . م، حیدریزاده، (۲۰۰۸)، "بررسی نشت خاک در اثر حفر تونل شهری اهواز". چهارمین کنگره ملی مهندسی عمران . ص. ۱-۸
- Jennings, P. C. (Ed.). (1980), "Earthquake engineering and hazards reduction in China: a trip report of the American Earthquake Engineering and Hazards Reduction Delegation submitted to the Committee on Scholarly Communication with the People's Republic of China", Vol. 8. National Academies.
- Seed, R. B., Cetin, K. O., Moss, R. E., Kammerer, A. M., Wu, J., Pestana, J. M., ... & Faris, A. (2003), "Recent advances in soil liquefaction engineering: a unified and consistent framework". In Proceedings of the 26th Annual ASCE Los Angeles Geotechnical Spring Seminar: Long Beach, CA.
- Pakbaz, M. C., & Yareevand, A. (2005), "2-D analysis of circular tunnel against earthquake loading". *Tunneling and Underground Space Technology*, 20(5), pp.411-417.
- Azadi, M., & Hosseini, S. M. M. (2010), "Analyses of the effect of seismic behavior of shallow tunnels in liquefiable grounds". *Tunnelling and underground space technology*, 25(5), pp.543-552.
- Rezania, M., Faramarzi, A., & Javadi, A. A. (2011), "An evolutionary based approach for assessment of earthquake-induced soil liquefaction and lateral displacement". *Engineering Applications of Artificial Intelligence*, 24(1), pp.142-153.

